

## بررسی مقایسه‌ای اثرات ضد میکروبی و چسبندگی در دو فرم لایه نازک و شکل کپه‌ای آلیاژ نایتینول

محمد کریم رحیمی<sup>۱</sup>، مهدی معروف<sup>۲</sup>، احسان صائب نوری<sup>۳</sup>، پریسا فرشید<sup>۴</sup>، سعید ذاکر بستان آباد<sup>۱</sup>، پروانه عدیمی<sup>۵</sup>، زهرا طبیبی<sup>۶</sup>، مژگان معصومی<sup>۷</sup>، سمیرا صائمیان<sup>۸</sup>

<sup>۱</sup> استادیار، دکترای میکروبیولوژی، گروه میکروب شناسی، دانشگاه آزاد اسلامی واحد پزشکی تهران

<sup>۲</sup> پزشک عمومی، دانشگاه آزاد اسلامی واحد پزشکی تهران

<sup>۳</sup> کارشناس ارشد مهندسی متالوژی، دانشگاه تربیت مدرس

<sup>۴</sup> کارشناس ارشد مدارک پزشکی، دانشگاه آزاد اسلامی واحد پزشکی تهران

<sup>۵</sup> مریبی، گروه قارچ شناسی، دانشگاه آزاد اسلامی واحد پزشکی تهران

<sup>۶</sup> کارشناس علوم آزمایشگاهی، دانشگاه آزاد اسلامی واحد پزشکی تهران

### چکیده

**سابقه و هدف:** آلیاژ نایتینول (*Nitinol*) کاربرد وسیعی در ساخت پروتزها در پزشکی دارد. از طریق دست کاری کردن آلیاژ، چسبندگی سلول‌ها و میکرووارگانیسم‌ها به سطح آن کاهش می‌یابد، هم‌چنین، از اثرات سمیت آلیاژ بر روی سلول‌های زنده کاسته می‌شود. هدف این مطالعه، مقایسه اثرات ضد میکروبی و چسبندگی شکل کپه‌ای این آلیاژ با شکل جدید لایه نازک می‌باشد.

**روش بررسی:** در این پژوهش تحلیلی - مقایسه‌ای، قطعاتی از شکل‌های کپه‌ای و لایه نازک نایتینول در مجاورت با <sup>5</sup> میکرووارگانیسم متفاوت قرار گرفتند. میکرووارگانیسم‌ها قبل و بعد از مجاورت با فلز و در حضور شاهد شمارش شدند. خاصیت چسبندگی آلیاژها از طریق عکس‌برداری و مشاهده در زیر میکروسکوپ الکترونی بررسی و مقایسه گردید.

**یافته‌ها:** در مجاورسازی با فرم لایه نازک، کاهش تعداد به میزان  $14\%$  درصد برای اشريشياکولي،  $44\%$  درصد برای پسودوموناس آئرورينوزا،  $30/1$  درصد برای استافيلوكوك اوئوس،  $22\%$  درصد برای باسيلوس سرئوس و  $4/6$  درصد برای کاندیدا مشاهده گردید. اما در مجاورسازی باکتری‌ها با فرم کپه‌ای، کاهش تعداد به میزان بیشتری اتفاق افتاد که به ترتیب کاهش تعداد به میزان  $39\%$  درصد،  $62\%$  درصد،  $49\%$  درصد و  $31\%$  درصد حاصل شد. در تمام موارد، اختلاف معنی‌داری از نظر کاهش تعداد در مجاورت با فرم لایه نازک و فرم کپه‌ای وجود داشت ( $p < 0.05$ ).

**نتیجه‌گیری:** احتمالاً در فرم لایه نازک، آزاد شدن ذرات فلز کمتر است و اثرات تخریبی کمتری برای میکرووارگانیسم‌ها و سلول‌های زنده دارد و به نظر می‌رسد که سازگاری زیستی میکرووارگانیسم‌ها در فرم لایه نازک نسبت به فرم کپه‌ای بیشتر باشد.

**واژگان کلیدی:** نایتینول، اثرات ضد میکروبی، چسبندگی، لایه نازک، شکل کپه‌ای.

### مقدمه

شناخته می‌شود. این اثر حافظه‌داری به این ترتیب است که اگر در دماهای پایین، تغییر شکل به آن داده شود بعد از افزایش حرارت، دوباره به شکل قبلی خود برمی‌گردد. در مطالعه دینکا و همکارانش نشان داده شد که سلول‌های کشت بافت در مجاورت با نایتینول، زیست سازگاری خوبی دارند و در مقایسه با کنترل اثرات سیتوتوکسیک دیده نمی‌شود. علاوه بر این، در مطالعه فوق نشان داده شد که باکتری‌ها (اشريشياکولي) و مخمرها (ساکارومیس سرویسیه) تمایل چسبندگی به

آلیاژ‌نیکل - تیتانیوم (*Nickel-Titanium alloy*) یا نایتینول با نسبت مولار ۱ به ۱ از هر یک از فلزات فوق، ویژگی‌های مکانیکی خاصی دارد که به نام اثر حافظه شکلی (Shape memory effect) و انعطاف‌پذیری بالا (Super elasticity) شناخته می‌شوند.

آدرس نویسنده مسئول: تهران، دانشگاه آزاد اسلامی، واحد پزشکی، دکتر محمدکریم رحیمی  
(email: mohammadrahimi@yahoo.com)

تاریخ دریافت مقاله: ۸۹/۱۲/۱۵

تاریخ پذیرش مقاله: ۱۳۹۰/۸/۲۱

که برای مدت‌های طولانی در بافت کاشته می‌شود (از قبیل استنت‌ها و گرافت‌های استخوانی) تردیدهایی وجود دارد. در طی مطالعات اخیر، که سازگاری بیولوژیک نایتینول با آلیاژی حاوی سه فلز نیکل، تیتانیوم، مس (NiTiCu) برروی سلول‌های کشت بافتی اپیتلیال و فیبروبلاست مقایسه گردید، نشان داده شد که به علت حضور مس، سازگاری بیولوژیک، کاهش می‌یابد. این کاهش سازگاری به علت آزاد شدن یون‌های مس می‌باشد (۹). عموماً سازگاری بیولوژیک نایتینول به علت مقاومت بالای آن در برابر خوردگی است (۱۰). مقاومت نایتینول در برابر خوردگی ممکن است به فاکتورهای دیگری از قبیل میزان صیقلی بودن سطح فلز (Quality Surface finish)، مقدار واحدها و درجه هوموزن بودن ریز ساختارها (Microstructure) بستگی داشته باشد. تمامی این فاکتورها از طریق تثبیت کردن عناصر خوردگ شونده و جلوگیری از آزاد شدن یون‌های فلزی از بروز سمیت بر روی سلول‌ها (سیتوتوکسیسیتی) ممانعت می‌کنند (۱۱). نایتینول به لحاظ داشتن خاصیت الاستیسیته مضاعف، کاربرد زیادی در ساخت استنت‌ها برای باز نگاه داشتن عروق دارد، اما در درمان آترواسکلروز به دلیل این‌که یون‌های نیکل، اثرات سیتوتوکسیسیته و سرطان‌زاوی (کارسینوژنی) دارند، کاربرد چندانی را دارا نمی‌باشد. اثرات سمی نیکل ناشی از استرس اکسیداتیو (Oxidative stress) است که برروی سلول‌ها وارد می‌شود. استنت‌های نایتینول که به یک جریان الکتریکی متصل باشند، می‌توانند برای تخریب باکتری‌ها در پروستاتیت‌های عفونی استفاده شوند (۱۲). اما در هر حال، اکنون نایتینول، گسترش زیادی در دنیای مهندسی پزشکی پیدا کرده است. در مقایسه با آلیاژهای دیگر، سازگاری بیولوژیک خوبی دارد که به علت شکل‌گیری یک لایه غیرفعال تیتانیوم- اکسید ( $TiO_2$ ) می‌باشد. این لایه اکسید شده موجب پایداری لایه‌ای سطحی در برابر خوردگی شده و یک مانع فیزیکی و شیمیایی را در برابر اکسیداسیون نیکل ایجاد می‌کند. بنابراین، مسیرهای اکسیداسیون نیکل اصلاح می‌شود (۱۳). میکرووارگانیسم‌ها تمایل چسبندگی کمتر برای اتصال به سطح نایتینول دارند. چسبیدن میکروارگانیسم‌ها اهمیت زیادی در تشکیل بیوفیلم و شروع عفونت دارد. محتوای شیمیایی، ناهمگونی، کریستالی بودن و خشونت سطحی اهمیت زیادی در پاسخ‌های بیولوژیک، سمیت برای سلول‌ها، مقاومت در برابر خورندگی و چسبندگی این آلیاژ دارد (۱۴).

هدف از این مطالعه، بررسی مقایسه‌ای اثرات سمی دو شکل متفاوت نایتینول (شکل کپه‌ای و شکل لایه نازک) بر روی

سطح نایتینول و تشکیل بیوفیلم را ندارند. آنها نتیجه گرفتند که نایتینول آلیاژ مناسبی برای پروتزها و وسائل پزشکی است. در هر دو مورد، تغییر شکل از یک مرحله در هم پیچیدگی مولکولی در دمای پایین یا فاز مونوکلینیک (monoclinic) به مرحله بازشدنی فضایی (Austenitic) در دمای بالا یا فاز مکعبی (Cubic)، مسئول رفتار مکانیکی ویژه این آلیاژ می‌باشد (۱). با توجه به این ویژگی‌های خارق العاده، چندین کاربرد پزشکی برای این آلیاژ پیشنهاد شده است. استفاده از این آلیاژ در سیم‌های ارتودنسی، کاشت‌های ارتودنسی (Orthopedic implants) برای ساخت استخوان، استنت‌های داخل عروقی و مواد جایگزین شونده استخوان از کاربردهای آن هستند (۲). اگر محتوای نیکل این آلیاژ افزایش یابد موجب افزایش توانایی ایجاد واکنش‌های الرژیک در بدن خواهد شد. در مطالعه آنا کریستینا و همکارانش نشان داده شد که سیم‌های ساخته شده از نایتینول برای ارتودنسی دندان‌ها مناسب‌تر هستند (۳).

آلیاژ نایتینول در ساختن استنت‌های داخل عروقی و دریچه‌های مصنوعی قلب کاربرد دارد. در مطالعه استوک و همکارانش، یک استنت نایتینول توسط یک بافت موکوسی بدون سلول پوشانده شد و دریچه‌های قلب خوک توسط نخ بخیه متصل گردیدند. به این وسیله از آسیب بافتی در هنگام کارگذاری دریچه‌ها به درون قلب ممانعت شد (۴).

خصوصیات شیمیایی سطحی این آلیاژ نیز به گونه‌ای است که در محل کاشت از ثبات سطحی برخوردار است و از آن، نیکل به بافت‌های مجاور منتشر نمی‌شود. روش‌های جدیدی ابداع شده‌اند که در آن‌ها لایه‌ای از داروها به آهستگی از سطوح پروتزهای نایتینول که در بدن کاشته شده‌اند، آزاد می‌شوند (۵). یون‌های نیکل، اثرات سیتوتوکسیک برروی سلول‌های اندوتلیوم دارند.

براساس تحقیقات الکتروشیمیایی، آلیاژ نایتینول برای کارهای دندان پزشکی مناسب است و در برابر اثر خورندگی میکروب‌های اکسید کننده‌ی آهن و منگنز و باکتری‌های تولید کننده اسید، که در بزاق وجود دارند، مقاومت می‌کند (۶). سازگاری بیولوژیک این آلیاژ نسبت به تیتانیوم خالص کمتر است اما در مقایسه با استیل بدون رنگ و نیکل خالص بیشتر است (۷). خوردگی آلیاژ در مجاورت عوامل الکتروشیمیایی و مکانیکی در چندین مورد از سیم‌های ارتودنسی توصیف گردیده و در برخی از موارد، آزاد شدن مقادیر قابل توجهی از نیکل مشاهده شده است (۸). نایتینول به علت داشتن سازگاری بیولوژیک بالا، کاربردهای زیادی دارد اما در هنگامی

## مقایسه دو فرم لایه نازک و شکل کپهای آلیاژ نایتینول

اسپوردار و کاندیدا آلبیکانس:1203 ATCC در محیط لاكتوز برات (Lactose broth, Hi media code No: M026) با pH=7.0-7.5 و کاندیدا آلبیکانس در محیط عصاره مخمر، پیتون، گلوکز (Yeast Pepton Glucose, code No:M014) با pH=5.5-6 وارد شدند. سپس برای فعال سازی این سوش های لیوفیلیزه، آنها در دمای ۳۷ درجه سانتی گراد برای مدت ۲۴ ساعت قرار گرفتند.

بعد از این که میکروار گانیسم های استاندارد از شکل لیوفیلیزه خارج شده و از زنده ماندن آن ها اطمینان حاصل گردید، کشت های خالصی از هر یک در محیط های اختصاصی در دمای ۴ درجه سانتی گراد نگه داری شدند. در هنگام انجام آزمایش، مقدار یک لوپ پر از کلونی ها برداشته شد و در لوله های آزمایش مجزا، با استفاده از سرم فیزیولوژی ( محلول ۹٪ از Nacl) رقت های متوالی (Rupture) از ۰/۱، ۰/۰۱، ۰/۰۰۱ و ۰/۰۰۰۱ تهیه شد. در ۵ سری آزمایش جداگانه، هر یک از رقت های میکروار گانیسم ها در سه سری مجزا (در مجاورت با فرم لایه نازک، در مجاورت با فرم کپهای و بدون مجاورت با آلیاژ های فلزی) در دمای ۳۷ درجه سانتی گراد برای مدت زمان ۲۴ ساعت انکوباسیون شدند. هر یک از سوسپانسیون ها قبل و بعد از انکوباسیون به روش پورپلیت از نظر تعداد باکتری ها شمارش شده و با واحد CFU/mL بیان شدند (۶).

برای سهولت در شمارش کلونی های موجود در سطح محیط کشت جامد، با استفاده از نقاله و خط کش، سطح پلیت ها به ۱۶ قطعه مساوی تقسیم شد و به صورت تصادفی حداقل سه قطعه از نظر تعداد کلونی ها شمارش شد و میانگین تعداد در عدد ۱۶ ضرب شد تا تعداد کلونی های سطح پلیت به دست آید. در هر یک از پلیت ها مقدار ۵۰ mL از سوسپانسیون میکروبی افزوده شده بود، بنابراین، تعداد کلونی های سطح پلیت در عدد ۲۰ ضرب شد تا تعداد در هر میلی لیتر محاسبه شود. در نهایت با استفاده از فرمول زیر میزان کاهش میکروار گانیسم ها محاسبه گردید:

$$R = \frac{A - B}{A} \times 100$$

در این فرمول، A = تعداد کلونی های اولیه (شاهد)، B = تعداد کلونی های ثانویه (بعد از مجاورت با آلیاژ) و R = درصد کاهش تعداد میکروار گانیسم ها در مجاورت با آلیاژ فلزی است (۶).

چسبندگی میکروار گانیسم ها به سطح آلیاژ نایتینول اهمیت زیادی در تشکیل بیوفیلم و سپس بروز عفونت در بدن دارد. بیوفیلم، یک لایه چسبنده نازک است که در اثر چسبیدن

میکروار گانیسم ها و چسبندگی میکروار گانیسم ها به سطح این آلیاژ ها می باشد. برای این منظور، کشت های سلولی باکتری ها (اشریشیاکولی، استافیلوکوک اورئوس، پسودوموناس آئروژنوز) و مخمر ها (کاندیدا آلبیکانس) در آزمون های جداگانه با شکل های متفاوت نایتینول مجاور می شود. درصد کاهش تعداد میکروار گانیسم ها در مجاورت با هر یک از شکل های آلیاژ فوق در مقایسه با شاهد منفی بررسی می شود. علاوه بر این، با استفاده از میکروسکوپ الکترونی، خشونت سطحی و میزان چسبندگی میکروار گانیسم ها به هر یک از شکل های فلز بررسی شد.

## مواد و روشها

در این مطالعه تحلیلی - مقایسه ای، در حضور شاهد، دو شکل متفاوت آلیاژ نایتینول با پنج میکروار گانیسم متفاوت مجاور شدند و اثر ضد میکروبی و زیست ساز گاری فلز بررسی گردید. علاوه بر این، میزان چسبندگی میکروار گانیسم ها به سطح فلز و تشکیل بیوفیلم با استفاده از میکروسکوپ الکترونی مدل LEO 4401 ارزیابی شد. در این تحقیق، آلیاژ نایتینول (NiTi) در دو فرم لایه نازک (Thin film) و کپهای (Bulk) مورد استفاده قرار گرفت. نمونه لایه نازک به صورت پوششی با ضخامت ۱  $\mu\text{m}$  یک ویفر سیلیکونی به ابعاد  $5 \times 10 \text{ mm}$  و به ضخامت ۱ mm نشانده شد. ترکیب این لایه ها از آلیاژ نیکل (Ni) و تیتانیوم (Ti) به نسبت اتمی ۵۰:۵۰ انتخاب شد. نمونه ها توسط دستگاه اسپاترینگ (Sputtering) در شرایط خلاء بالا (۱۰<sup>-۶</sup> میلی بار) به مدت ۱ ساعت قرار گرفتند. به این ترتیب، لایه نازک نایتینول با ویفر سیلیکونی، جفت (Annealing) شد و در قطعاتی به ابعاد  $5 \times 10 \text{ mm}$  بریده شد. نمونه کپهای مستقیماً از آلیاژ نایتینول با نسبت اتمی ۵۰:۵ از فلزات نیکل و تیتانیوم انتخاب گردید. برای این منظور، لایه ای با ضخامت ۱ mm و ابعاد  $5 \times 10 \text{ mm}$  از آلیاژ نایتینول بریده شد.

برای انجام آزمایش اثر ضد میکروبی و زیست ساز گاری، پنج میکروار گانیسم با هر یک از نمونه های لایه های نازک و کپهای آلیاژ نایتینول در شرایطی شبیه به شرایط بدن مجاور گردیدند. پنج میکروار گانیسم از گروه های متفاوت عبارت بودند از: اشریشیاکولی ATCC:11303 و پسودوموناس آئروژنوز ATCC:PTCC:1557 از گروه باکتری های گرم- منفی، استافیلوکوک اورئوس ATCC:6538 از گروه باکتری های گرم- مثبت، باسیلوس سرئوس ATCC:12711 از گروه باکتری های

## جدول ۱- درصد کاهش تعداد میکروارگانیسم‌ها بعد از مجاورت با آلیاژهای فلزی

| آزمون | میکروارگانیسم         | مجاورت با آلیاژ | میانگین تعداد دارویی (CFU/ml) | درصد کاهش          | میانگین تعداد ثانویه (CFU/ml) |
|-------|-----------------------|-----------------|-------------------------------|--------------------|-------------------------------|
|       |                       |                 |                               |                    | فرم کپهای لایه نازک           |
| ۱     | پسودوموناس آئروژنیوزا | ×               | $2/08 \times 10^7$            | $0/79 \times 10^7$ | $2/08 \times 10^7$            |
| ۲     | پسودوموناس آئروژنیوزا | ×               | $2/08 \times 10^7$            | $1/22 \times 10^7$ | $2/08 \times 10^7$            |
| ۳     | استافیلوکوک اورئوس    | ×               | $2/4 \times 10^2$             | $0/92 \times 10^2$ | $2/4 \times 10^2$             |
| ۴     | استافیلوکوک اورئوس    | ×               | $2/4 \times 10^2$             | $1/7 \times 10^2$  | $2/4 \times 10^2$             |
| ۵     | باسیلوس سرئوس         | ×               | $2/6 \times 10^6$             | $1/35 \times 10^6$ | $2/6 \times 10^6$             |
| ۶     | باسیلوس سرئوس         | ×               | $2/6 \times 10^6$             | $2/0 \times 10^6$  | $2/56 \times 10^7$            |
| ۷     | کاندیدا آلبیکانس      | ×               | $8/12 \times 10^2$            | $7/6 \times 10^3$  | $2/24 \times 10^7$            |
| ۸     | کاندیدا آلبیکانس      | ×               | $8/12 \times 10^2$            | $5/5 \times 10^2$  | $2/25 \times 10^7$            |

در آزمایش مجاورت آلیاژهای فلزی با پسودوموناس آئروژنیوزا، پنج سوسپانسیون میکروبی با تعداد شمارش شده اولیه CFU/mL  $1/76 \times 10^7$ ،  $1/06 \times 10^7$  CFU/mL،  $2/24 \times 10^7$  CFU/mL و  $2/08 \times 10^7$  CFU/mL با میانگین  $2/22 \times 10^7$  CFU/mL انتخاب شدند. در مجاورت با فرم لایه‌ی نازک، تعداد باکتری‌ها به میانگین تعداد CFU/mL  $1/22 \times 10^7$  (با درصد کاهش ۴۴ درصد) و در مجاورت با فرم کپهای، تعداد باکتری‌ها با میانگین تعداد  $0/79 \times 10^7$  CFU/mL (با درصد کاهش ۶۲ درصد) کاهش یافت.

در آزمایش مجاورت آلیاژهای فلزی با استافیلوکوک اورئوس پنج سوسپانسیون میکروبی با تعداد شمارش شده اولیه CFU/mL  $4/01 \times 10^2$ ،  $3/71 \times 10^2$  CFU/mL،  $1/49 \times 10^2$  CFU/mL،  $1/51 \times 10^2$  CFU/mL و  $1/61 \times 10^2$  CFU/mL با میانگین  $2/46 \times 10^2$  CFU/mL انتخاب شدند. در مجاورت با فرم لایه‌ی نازک، تعداد باکتری‌ها به میانگین تعداد CFU/mL  $1/70 \times 10^2$  (با درصد کاهش ۳۰/۹ درصد) و در مجاورت با فرم کپهای تعداد باکتری‌ها به میانگین  $1/0 \times 10^2$  CFU/mL (با درصد کاهش ۶۱/۹ درصد) کاهش یافت.

در آزمایش مجاورت آلیاژهای فلزی با باسیلوس سرئوس، پنج سوسپانسیون میکروبی با تعداد شمارش شده اولیه CFU/mL  $2/27 \times 10^6$ ،  $2/60 \times 10^6$  CFU/mL،  $2/40 \times 10^6$  CFU/mL و  $2/70 \times 10^6$  CFU/mL تعداد  $2/60 \times 10^6$  CFU/mL انتخاب شدند. در مجاورت با فرم لایه‌ی نازک، تعداد باکتری‌ها به میانگین تعداد  $x10^6$  CFU/mL (با درصد کاهش ۲۲ درصد) و در مجاورت با فرم کپهای به میانگین تعداد  $1/35 \times 10^6$  CFU/mL (با درصد کاهش ۴۹ درصد) کاهش یافت (شکل ۱).

میکروارگانیسم‌ها به سطح مواد خنثی از قبیل سنگ، فلز یا چوب ایجاد می‌شود (۸). برای بررسی میزان چسبندگی میکروارگانیسم‌ها، در درون لوله‌های آزمایش، هر یک از ۲۴ شکل‌های لایه‌ی نازک و کپهای آلیاژ نایتینول برای مدت ۲۴ ساعت در دمای ۳۷ درجه سانتی‌گراد در مجاورت با باسیلوس سرئوس، انکوباسیون شدند. سپس هر یک از این قطعات آلیاژ به روش رنگ‌آمیزی منفی (با استفاده از املاح فلزی) آماده‌سازی شده و در زیر میکروسکوپ الکترونی مقطع‌نگار (LEO 4401) بررسی شده و عکس‌برداری شدند (شکل ۱).

بعد از جمع آوری داده‌ها، با استفاده از آنالیز آماری Leven's Test نسخه ۱۵ و با به کارگیری تست لونز ارتباط آماری آنها بررسی گردید.

## یافته‌ها

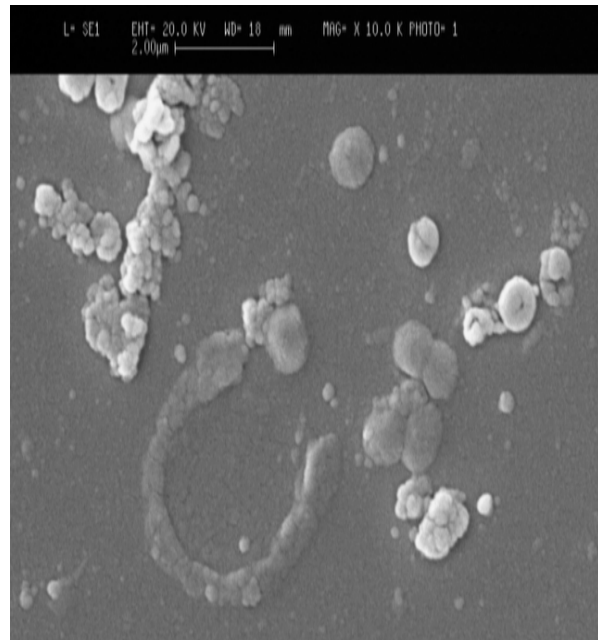
در آزمایشی که آلیاژهای فلزی با اشريشياکولي مجاور شدند، اثرات ضد میکروبی آلیاژهای فلزی موجب کاهش تعداد باکتری‌ها بعداز مدت زمان ۲۴ ساعت شد. پنج سوسپانسیون میکروبی با تعداد باکتری‌های شمارش شده اولیه CFU/mL  $8/09 \times 10^4$  CFU/mL،  $6/60 \times 10^4$  CFU/mL،  $8/09 \times 10^4$  CFU/mL و  $8/88 \times 10^4$  CFU/mL با میانگین  $6/07 \times 10^4$  CFU/mL و  $7/23 \times 10^4$  CFU/mL آزمایش شدند. در مجاورت با فرم لایه‌ی نازک، تعداد باکتری‌ها به میانگین  $6/25 \times 10^4$  CFU/mL (با درصد کاهش ۱۴ درصد) و در فرم کپهای، تعداد باکتری‌ها به میانگین  $4/44 \times 10^4$  CFU/mL (با درصد کاهش ۳۹ درصد) کاهش یافتند.

## مقایسه دو فرم لایه نازک و شکل کپهای آلیاژ نایتینول

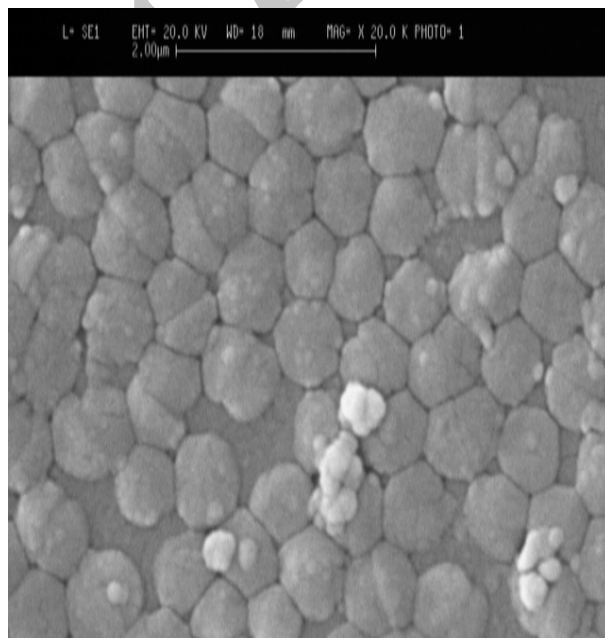
۷/۶۰ (درصد کاهش ۶/۴ درصد) و در مجاورت با فرم کپهای، تعداد مخمرها به میانگین تعداد  $CFU/mL \times 10^2 = 5/5$  (با درصد کاهش ۳۱ درصد) کاهش یافت (جدول ۱).

### بحث

مجاور کردن میکروارگانیسم‌ها با آلیاژهای فلزی در مقایسه با کنترل نشان داد که در تمامی موارد، آلیاژهای فلزی موجب کاهش تعداد ارگانیسم‌ها شده بودند. در مورد فرم لایه نازک، این کاهش به میزان ۱۴ درصد برای اشريشياکولي، ۴۴ درصد برای پسودوموناس آتروزینوزا، ۳۰/۱ درصد برای استافيلوكوك اورئوس، ۲۲ درصد برای باسيلوس سرئوس و ۶/۴ درصد برای کاندیدا آلبیکانس با میانگین کلی ۳۴/۸ درصد برای تمامی ارگانیسم‌ها مشاهده گردید. اما در مورد فرم کپهای، کاهش تعداد ارگانیسم‌ها به میزان ۳۹ درصد برای اشريشياکولي، به میزان ۶۲ درصد برای پسودوموناس آتروزینوزا، به میزان ۴۹ درصد برای درصد برای استافيلوكوك اورئوس، به میزان ۳۱ درصد برای کاندیدا آلبیکانس باسيلوس سرئوس، به میزان ۴۸/۶ درصد برای ارگانیسم‌ها مشاهده و با میانگین کلی ۴۸/۶ درصد برای تمامی ارگانیسم‌ها مشاهده گردید. در مجموع، نتایج فوق نشان داد که در فرم لایه نازک نسبت به فرم کپهای، میانگین کلی کاهش تعداد ارگانیسم‌ها، کمتر بود (کاهش ۳۴/۸ درصد در فرم لایه نازک نسبت به کاهش ۴۸/۶ درصد در فرم کپهای؛  $P < 0.05$ ). این اختلاف معنی‌دار که در بین دو آلیاژ فوق دیده می‌شود، حکایت از آن دارد که احتمالاً در فرم لایه نازک، آزاد شدن ذرات فلز، کمتر است و اثرات تخریب سلولی کمتری را نشان می‌دهد. این آلیاژها در بدن میزبان انسانی می‌توانند از طریق آزاد نمودن ذرات فلز علاوه بر اثرات تخریبی بر روی میکروارگانیسم‌ها، بر روی سلول‌های میزبان نیز اثرات آسیب سلولی و تخریب بافتی را به همراه داشته باشند. لذا در مقایسه به نظر می‌رسد که قدرت زیست سازگاری فرم لایه نازک آلیاژ نایتینول بیش‌تر باشد. این فرم در مجاورت ارگانیسم‌های زنده از قبیل باکتری‌ها و قارچ‌ها به علت داشتن خاصیت زیست سازگاری بیش‌تر توانست شرایط زیستی مناسب‌تری را برای آن‌ها فراهم سازد. بنابراین در هنگام مجاورسازی فرم لایه نازک، کاهش تعداد ارگانیسم‌ها نسبت به فرم کپهای به میزان قابل توجهی (با اختلاف معنی‌داری  $P < 0.05$ ) کمتر بود. در مطالعه مدواو در سال ۲۰۰۲، لایه‌ای از آلیاژ نایتینول برای ارتودنسی دندان‌ها مورد استفاده قرار گرفت. علاوه بر این‌که آلیاژ فوق توانست دندان‌ها را به شکل بیولوژیک طبیعی



(الف)



(ب)

شکل ۱- تصاویر میکروسکوپ الکترونی مقطع‌نگار از آلیاژ فلزی مجاور شده با باسيلوس سرئوس. (الف): شکل لایه نازک، (ب): شکل کپهای. به چسبیدن تعداد بیشتری از باکتری‌ها به شکل کپهای توجه کنید.

در آزمایش مجاورت آلیاژهای فلزی با کاندیدا آلبیکانس، پنج سوسپانسیون میکروبی با تعداد شمارش شده اولیه  $CFU/mL \times 10^3 = 1, 2, 7/85 \times 10^2 CFU/mL$ ،  $6/80 \times 10^2 CFU/mL$  و  $9/95 \times 10^2 CFU/mL$  با میانگین تعداد  $8/12 \times 10^2 CFU/mL$  انتخاب شدند. در مجاورت با فرم لایه نازک، تعداد مخمرها به میانگین تعداد  $CFU/mL \times 10^3 = 1$

همکارانش، کاهش باکتری‌های داخل کanal در مورد نیکل-تیتانیوم با کاهش باکتری‌ها در استیل بدون لعاب مقایسه شد. در ۴۸ بیمار، شمارش باکتری‌ها در قبل، در هنگام و بعد از جای‌گذاری پیچ‌ها انجام گرفت. هیچ‌گونه عفونت یا افزایش باکتری‌ها بعد از جای‌گذاری نیکل-تیتانیوم مشاهده نشد (۱۸). در مطالعه فراغو و همکارانش اثر فلوراید برروی آلیاژ‌های تیتانیوم بررسی شد. میزان آزاد شدن نیکل احیا شده مورد محاسبه قرار گرفت. سیم‌های ارتودنسی نیکل-تیتانیوم که در دهان بیماران قرار داده شدند، توسط به کارگیری محلول‌های فلوراید، محافظت شدند. کاهش معنی‌داری در بروز عفونت و عوارض جانبی در مقایسه با موارد شاهد که توسط فلوراید محافظت نشده بودند مشاهده گردید (۱۹). در مطالعات گذشته ما نیز نشان داده شد که صیقلی بودن هر چه بیشتر سطح فلز که در آلیاژ لایه نازک دیده می‌شود موجب اثرات سیتو توکسیک کمتری بر روی ارگانیسم‌ها شده و همچنین چسبیدن میکروارگانیسم‌ها به سطح فلز و تشکیل بیوفیلم کاهش می‌یابد. بدیهی است که هرچه امکان تشکیل بیوفیلم کمتر باشد، احتمال کلونی‌اسیویون بر روی پروتزها و شروع عفونت کمتر است. فرم لایه نازک، قدرت ضد میکروبی پایینی را داشت اما به دلیل نداشتن واکنش‌های آلرژیک، توکسیک و همچنین جلوگیری از تشکیل بیوفیلم استفاده از آن توصیه می‌شود. لذا بر اساس پژوهش حاضر، پیشنهاد می‌شود که برای ساختن استنت‌ها و پروتزهای پزشکی از فرم لایه نازک به جای فرم کپه‌ای استفاده شود.

## REFERENCES

1. Dinca VC, Soare S, Barbalat A, Dinu CZ, Moldovan A, Stoica I, et al. Nickel-titanium alloy: cytotoxicity evaluation on microorganism culture. *Appl Surf Sci* 2006; 252: 4619-24.
2. Yahina L, ed. Shape memory implants. Berlin: Springer; 2000.
3. Santos AC, Tortamano A, Naccarato SR, Dominguez-Rodriguez GC, Vigorito JW. An in vitro comparison of the force decay generated by different commercially available elastomeric chains and NiTi closed coil springs. *Braz Oral Res* 2007; 21: 51-57.
4. Stock UA, Degenkolbe I, Attmann T, Schenke-Layland K, Freitag S, Lutter G. Prevention of device-related tissue damage during percutaneous deployment of tissue-engineered heart valves. *J Thorac Cardiovasc Surg* 2006; 131: 1323-30.
5. Mani G, Johnson DM, Marton D, Feldman MD, Patel D, Ayon AA, et al. Drug delivery from gold and titanium surfaces using self-assembled monolayers. *Biomaterials* 2008; 29: 4561-73.
6. Brantley WA, Iijima M, Grentzer TH. Temperature-modulated DSC study of phase transformations in nickel-titanium orthodontic wires. *Am J Orthod Dentofacial Orthop* 2003; 124: 387-94.
7. Kim K, Oh K, eds. Corrosion properties on dental restorative alloys. In proceedings of international conference on electrochemistry. SAEST: Chennai; 2002.
8. Sipert CR, HussneRP, NishiyamaCK, Torres SA. In vitro antimicrobial activity of fill canal, seal apex, mineral trioxide aggregate, Portland cement and EndoRez. *Int Endodont J* 2005; 38: 539-43.
9. Es-Souni M, Es-Souni M, Brandies HF. On the transformation behaviour, mechanical properties and biocompatibility of two niti-based shape memory alloys: NiTi42 and NiTi42Cu7. *Biomaterials* 2001; 22: 2153-61.

برگرداند، زیست سازگاری بالایی را با سلول‌های بدن نشان داد و موجب گردید دندان‌ها به شکل طبیعی برگردند و نیاز به درمان‌های دارویی کاهش یابد (۵). این پژوهش در مقایسه با مطالعه ما زیست سازگاری آلیاژ نایتینول را تأیید کرد، اما در آن از فرم کپه‌ای استفاده شده بود. استنت‌های درون نای که از جنس نایتینول هستند، درمان نگهدارنده مناسبی برای کولاپس نای می‌باشند و برای ماهها تا سال‌ها موجب بهبود در عملکرد تنفسی می‌شوند (۱۵). در مطالعه ویرث در سال ۲۰۰۵، اثرات خشونت سطحی نایتینول برروی پاسخ سلول‌های فیبروبلاست و اوستئوبلاست در شرایط آزمایشگاه مطالعه شد. با استفاده از رنگ‌آمیزی ایموونوفلورسانس و مشاهده آن در زیر میکروسکوپ و همچنین با استفاده از روش آلکالن فسفاتاز، کم بودن خشونت سطحی برروی کاهش چسبندگی و افزایش زیست سازگاری نشان داده شد. نتایج این مطالعه با نتایج مطالعه ما هماهنگی دارد. چون در مطالعه ما نیز فرم لایه نازک که خشونت سطحی کمتری دارد، زیست سازگاری بهتری را نشان داد و میکروارگانیسم‌های کمتری به آن چسبیدند (۱۶). در مطالعه مورگان در سال ۲۰۰۳، کاربردهای آلیاژ نایتینول در پزشکی نشان داده شد. در این پژوهش، اثرات سیتو توکسیسیتی نایتینول نسبت به بقیه آلیاژ‌های فلزی مقایسه شد و پاسخ‌های آلرژیک یا ژنوتوكسیک نایتینول نشان داده شد. در این مطالعه نتیجه‌گیری شد که فن‌آوری و ساختار سطحی فلز برروی اثرات سیتو توکسیسیتی تأثیر به سزاگی دارد (۱۷). در مطالعه کلارک دالتون و

10. Maruthamuthu S, Rajasekar A, Sathiyanarayanan S, Muthukumar N, Palaniswamy N. Electrochemical behavior of microbes on orthodontic wires. *Current Science* 2005; 89: 988-96.
11. Es- Souni M, Fischer-Brandies H, Kock N, Bock O, Ratzke K. Chemische Zusammensetzung, Unwandlungs Verh alten und mechanische Biegeeigenschaften ausgewählter kieferorthopädischer NiTi-Drahtbogen. *Informationen aus Orthodontie und Kieferorthopädie* 2001; 33: 87-106.
12. Liatsikos EN, Dirlenc CZ, Kapoor R, Fogarty J, Bernardo NO, Isenberg HD, et al. In vitro bactericidal effect of a modified thermal Nitinol electrode. *J Endourol* 2001; 15: 303-306.
13. Tanzer JM, Livingston J, Thompson AM. The microbiology of primary dental caries in humans. *J Dent Educ* 2001; 65: 1028-37.
14. Ijima M, Ohno H, Kawashima I, Endo K, Brantley WA, Mizoguchi I. Micro X-ray diffraction study of super elastic nickel-titanium orthodontic wires at different temperatures and stresses. *Biomaterials* 2002; 23: 1769-74.
15. Sura PA, Krahwinkel DJ. Self-expanding nitinol stents for the treatment of tracheal collapse in dogs: 12 cases (2001-2004). *J Am Vet Med Assoc* 2008; 232: 228-36.
16. Wirth C, Comte V, Lagneau C, Exbrayat P, Lissac M, Jaffrezic-Renault N, et al. Nitinol surface roughness modulates in vitro cell response: a comparison between fibroblasts and osteoblasts. *Mater Sci Eng C* 2005; 25: 51-60.
17. Morgan NB. Medical shape memory alloy applications- the market and its products. *Mater Sci Eng A* 2004; 378: 16-23.
18. Dalton BC, Orstavik D, Phillips C, Pettiette M, Trope M. Bacterial reduction with nickel-titanium rotary instrumentation. *J Endod* 1998; 24: 763-67.
19. Pataky L, Iványi I, Grigár A, Fazekas A. Antimicrobial efficacy of various root canal preparation techniques: an in vitro comparative study. *J Endod* 2002; 28: 603-605.